

## MİLFÖY HAMURUNUN İSİL YAYINIM KATSAYISININ SICAKLIKLA DEĞİŞİMİNİN BELİRLENMESİ

### CHANGES OF THERMAL DIFFUSIVITY OF PUFF PASTRY DOUGH WITH TEMPERATURE

Seher KUMCUOĞLU<sup>\*</sup>, Şebnem TAVMAN

Ege Üniversitesi, Mühendislik Fakültesi, Gıda Mühendisliği Bölümü Bornova, İzmir

**ÖZET:** Bu çalışmada milföy hamurunun ıslı yayının katsayı modifiye edilmiş Dickerson metodunu kullanılarak -35 °C ile +10 °C sıcaklık aralığında deneyel olaraık ölçülmüştür. Örneğin donmuş durumdağı ıslı yayının katsayısının donmamış durumuna ait ıslı yayının katsayılarından daha yüksek olduğu ve sıcaklığın artmasıyla azaldığı tespit edilmiştir. Donmuş durum için elde edilen ölçüm sonuçlarına regresyon analizi uygulanarak milföy hamurunun ıslı yayının katsayısının sıcaklıkla değişimini veren empirik denklem elde edilmiştir. Donmamış durumda, 3-10 °C sıcaklık aralığında örneğin ıslı yayının katsayısi  $1.08 \times 10^{-7} \text{ m}^2/\text{s}$  olarak ölçülmüştür.

**Anahtar Kelimeler:** ıslı yayının katsayı; ıslı difüzivite; Hamur; ıslı özellikler; Milföy hamuru

**ABSTRACT:** Thermal diffusivity of puff pastry dough was measured in the temperature range from -35 to +10 °C, by using modified Dickerson method. Thermal diffusivity of the frozen dough found to be greater than unfrozen sample and was found to be decreased with temperature for the frozen state. Empirical equation for thermal diffusivity calculations were obtained by application of regression analysis to the results for the frozen state. Thermal diffusivity of puff pastry dough was measured as  $1.08 \times 10^{-7} \text{ m}^2/\text{s}$  between 3 and 10 °C.

**Keywords:** Thermal diffusivity; Dough; Thermal properties; Puff pastry dough

#### GİRİŞ

Dondurma işlemi, gıdaların korunmasında ürün sıcaklığını buz kristallerinin oluşmaya başladığı sıcaklık derecelerinin altına düşürülerek uygulanan bir muhafaza teknigidir. Dondurma işleminin mühendislik açısından önemi büyüktür. Dondurulma ve donmuş halde depolama işleminin modellenmesi ve bu işlemler için gerekli ekipmanların tasarılarında ıslı özelliklerin bilinmesine gereksinim duyuılmaktadır. Bu işlemler sırasında sıcaklık değişim gösterdiğinden özelliklerin sıcaklığın fonksiyonu olarak da bilinmesi gereklidir.

Donma işlemi sırasında gıdanın içerdiği su giderek artan bir şekilde sıvı fazdan katı faza geçer. Gidalarda bulunan suyun katı haldeki özellikleri sıvı suyun özelliklerinden farklı olduğu için; gıdaların donma noktasının üzerinde belirlenmiş olan ıslı özelliklerin donma noktasının altındaki sıcaklıklarda geçerli değildir (1, 2).

ıslı yayının katsayı; maddenin sahip olduğu ıslı özelliklerden biridir ve maddenin ıslı iletkenlik değerinin, özgül ısı ve yoğunluğunun çarpımına oranı olarak tanımlanır (3).

$$\alpha = \frac{k}{\rho C_p} \quad (1)$$

\* E-posta: seher.kumcuoglu@ege.edu.tr

İsıl yayınım katsayısı, gıdanın su içeriği, sıcaklık, bileşim, yoğunluk ve gözeneklilik gibi özelliklerine bağlı olarak değişim göstermektedir. Gıdaların işlenmesi sırasında bu özelliklerin değişmesi söz konusu olduğundan, uygulanan işlem boyunca gıda maddesi için sürekli değişen bir isıl yayınım katsayıları değeri beklenir (4).

Bir maddenin isıl yayınım katsayısının ölçülmesi, belirli geometrideki madde örneğinin bilinen bir ısı akışına maruz bırakılması sonucunda örnek kesitinde oluşan sıcaklık değişiminin matematiksel olarak değerlendirilmesi esasına dayanır. Kararsız rejim ısı iletim denkleminin analitik çözümü, iç ve dış ısı direncini karşılaştıran boyutsuz Bi sayısına bağlıdır. Bi sayısının 40'dan büyük olması durumunda dış direnç, 0.2 den küçük olması durumunda da iç direnç ihmali edilebilir düzeydedir. Bi sayısının 0.2 ile 40 arasında olması sisteme her iki direncin de önemini olduğunu gösterir (5).

Yüzeyden konveksiyon katsayısının sonsuz kabul edilebildiği ve örnek dış ortam sıcaklığının sabit olduğu durumlarda Ball ve Olson (6) ve Hayakawa ve Ball (7)'de verilen isıl yayınım katsayısı ölçüm yöntemi örneğin isıl yayınım katsayısının belirlenmesinde kullanılabilir (8). Bu yöntem bir çok araştırmacı tarafından değişik gıdaların isıl yayınım katsayılarının belirlenmesinde kullanılmıştır.

Literatürde hamurların ve unlu mamullerin isıl yayınım katsayılarının ölçülmesine yönelik çalışmalar bulunmaktadır. Rask (9)'da bazı hamurlara ve unlu mamullere ilişkin isıl yayınım katsayıları değerleri ve isıl yayınım katsayısının hesaplanması hakkında kullanılan empirik denklemler verilmiştir. Lind (10)'de hamurların isıl yayınım katsayılarının belirlenmesinde kullanılan ölçüm yöntemleri detaylı olarak açıklanmıştır. Zanoni ve ark. (11) tarafından yapılan çalışmada ekmeğin isıl yayınım katsayısının gözeneklilikle değişimi incelenmiş ve isıl yayınım katsayısının gözenekliliğin üssel fonksiyonu olduğu belirtilmiştir. Magee ve Bransburg (12)'te %34.4 nem içeren 242 kg/m<sup>3</sup> yoğunluktaki ekmeğin isıl yayınım katsayısı  $1.17 \times 10^{-7} \text{ m}^2/\text{s}$  olarak verilmiştir.

Milföy hamuru üretim aşamasında donma işlemine tabi tutulan ve tüketiciye soğuk zincirle ulaştırılması gereken bir gıda maddesidir. Gerek üretim ve gerekse depolama aşamalarında soğutma işlemeye ait hesaplamaların yapılmasında bu ürünü ait isıl özelliklerin bilinmesi gerekmektedir. Bu çalışmada dondurulmuş milföy hamurunun isıl yayınım katsayısı -35 °C ile +10 °C sıcaklık aralığında deneyel olarak belirlenmiş ve isıl yayınım katsayısının sıcaklıkla değişimi incelenmiştir.

## **MATERIAL ve YÖNTEM**

### **Materyal**

Bu çalışmada materyal olarak kullanılan milföy hamuru ticari olarak üretim yapan bir işletmeden temin edilmiştir. Milföy hamurunun bileşimi %43.60 karbonhidrat, %27.71 su, %20.43 yağ, %5.90 protein ve %2.36 kül olarak belirlenmiştir. Hamurun donmamış durumdaki yoğunluğu 872.9 kg/ m<sup>3</sup> tür.

### **Yöntem**

#### **İsıl yayınım katsayısı Ölçüm Düzeneği**

İsıl yayınım katsayısı ölçüm düzeneği istirmalı ve karıştırmalı bir su banyosu ve bunun içine daldırılmış olan, içi isıl yayınım katsayısı ölçülecek madde ile doldurulan bir silindirik ölçüm tüpünden oluşmuştur. Sıcaklık kontrollü su banyosu; 65x65x33 cm boyutlarında, 139 litre hacme sahip, paslanmaz çelikten yapılmıştır. Su sıcaklığının tüm kapta homojen olmasını sağlamak amacıyla; 21 Watt gücünde bir motorla çalışan ve 98 devir/dak. hızla dönen 2 adet kanadı bulunan karıştırıcı bulunmaktadır.

Su banyosu, dış yüzeyi yüksek yoğunluklu ekstrude polistiren köpük ile kaplanarak izole edilmiştir. Isıl yayınım katsayısı ölçüm denemelerinde 30 mm iç çapa sahip, 24.8 mm uzunluğundaki pirinçten yapılmış silindirik tüp örnek kabı olarak kullanılmıştır. Isıl yayınım katsayısı ölçülecek materyal ile doldurulan ölçüm tüpünün iki ucu, sıkıca yerleşen teflon kapakla kapatılmıştır. Sızıntıyı önlemek amacıyla, kapakların tüp ucuya temas yüzeylerine sıvı conta kaplanmıştır.

Gıda maddesi ile doldurulan ısıl yayının katsayısı ölçüm tüpünün merkez sıcaklığını ölçmek amacıyla  $T$  tipi ısileş probu kullanılmıştır. Bu prob, teflon kapakta açılan delikten tüp içeresine sıkıca yerleştirilmiştir. Su sızıntısına engel olmak amacıyla burada da temas yüzeylerine sıvı conta uygulanmıştır. Örnek tüpünün dış yüzeyine monte edilen ısileş ise yüzey sıcaklığını ölçmede kullanılmıştır.

Dickerson (13) tarafından uygulanan metodun modifiye bir şekli olan Bhowmik ve Hayakawa (8)'da verilen yönteme benzer bir şekilde gerçekleştirilen ısıl yayının katsayısı ölçüm denemelerinin başlangıcında hazırlık olarak; gıda maddesi ile doldurulup ısileş bağlantıları yapılan ısıl yayının katsayısı ölçüm tüpünün homojen başlangıç sıcaklığının oluşması için dondurucu içerisinde ısıl dengeye ulaşılınca kadar beklenmiştir. Bu çalışmada homojen başlangıç sıcaklığına ulaşmak amacıyla örnek tüpü bir gün dondurucu (-35°C) içerisinde bekletilmiştir. Daha sonra örnek tüpü, dondurucu içerisinde çıkarılıp sabit sıcaklıklı su banyosu içine yatay olarak yerleştirilmiştir. Örneğin donmuş haline ait ısıl yayının katsayısı ölçümünden hacimce %15 etilen-glikol içeren -4 °C ( $\pm 1^\circ\text{C}$ ) 'deki termostatlı su banyosu kullanılmıştır.

Örneğin donmamış durumuna ait ölçümle ise homojen başlangıç sıcaklığı elde etmek için donmuş haldeki ölçümü tamamlanan örnekler 0 °C'taki su banyosunda dört saat bekletildikten sonra 20 °C ( $\pm 2^\circ\text{C}$ )'taki su banyosu içine yerleştirilmiştir. Cole Parmer DualogR sıcaklık kaydedici yardımıyla örneklerin merkez ve yüzey sıcaklıklarını 10 saniyede bir, ölçülen merkez ve yüzey sıcaklıklarını arasındaki fark sabitleşinceye kadar kaydedilmiştir. Sıcaklık ölçümünden Cole Parmer T tipi 20 gauge'lik ısileşler kullanılmıştır.

### Teori

Sonsuz silindirde ısı iletim denklemi yüzeyde konveksiyon olması durumunda aşağıdaki denklemle ifade edilir (14):

$$\frac{T_m - T}{T_m - T_0} = 2Bi \sum_{n=1}^{\infty} \left[ \exp(-\alpha \beta_n^2 t / R^2) \right] \left[ \frac{J_0(\beta_n r / R)}{(Bi^2 + \beta_n^2) J_1 \beta_n} \right] \quad (2)$$

$\beta_n$  denklemin  $n$ inci dereceden pozitif köküdür;

$$Bi J_0(\beta_n) - \beta_n J_1(\beta_n) = 0 \quad (3)$$

Üssel fonksiyon ve Bessel fonksiyonları içeren bu denklem seri çözüm veren bir analitik yaklaşım sahiptir ve serinin ilk terimi önemlidir (4, 14, 15):

$$\frac{T_m - T}{T_m - T_0} = 2Bi \left[ \exp(-\alpha \beta_1^2 t / R^2) \right] \left[ \frac{J_0(\beta_1 r / R)}{(Bi^2 + \beta_1^2) J_1 \beta_1} \right] \quad (4)$$

Denklem (4) silindrin merkez  $\left(\frac{r}{R} = 0\right)$  ve yüzey  $\left(\frac{r}{R} = 1\right)$  sıcaklıklarını gösterecek şekilde ifade edilirse;

$$\text{Merkez için: } \frac{T_m - T_c}{T_m - T_0} = 2Bi \left[ \exp(-\alpha \beta_1^2 t / R^2) \right] \left[ \frac{1}{(Bi^2 + \beta_1^2) J_1 \beta_1} \right] \quad (5)$$

$$\text{Yüzey için: } \frac{T_m - T_s}{T_m - T_0} = 2Bi \left[ \exp(-\alpha \beta_1^2 t / R^2) \right] \left[ \frac{J_0(\beta_1)}{(Bi^2 + \beta_1^2) J_1 \beta_1} \right] \quad (6)$$

Merkez ve yüzey sıcaklıklarını veren bu iki denklem birbirine oranlanarak (7) nolu denklem elde edilir:

$$T_{cs} = \frac{T_m - T_c}{T_m - T_s} = \frac{1}{J_0(\beta_1)} \quad (7)$$

Bu denklemde sabit bir değerde olan  $T_{cs}$  in değeri;

$(T_m - T_c)/(T_m - T_s)$ ' in ısıtma veya soğutma zamanına karşı çizilen grafiği kullanılarak bulunabilir. " $\beta_1$ " değeri de bu sabit kullanılarak Bessel fonksiyonu tablolardan bulunur. Gerekli düzenlemeler yapıldığında; " $\beta_1$ " ve ısıl yayının katsayısı arasındaki ilişkisi veren denklem (8) elde edilir (8, 16).

$$\frac{f\alpha}{R^2} = \frac{2303}{\beta^2} \quad (8)$$

Bu denklemde  $f$ , ısıl yayının katsayısı ölçümü amacıyla uygulanan ısıtma veya soğutma işlemi sırasında kaydedilen deneyel sıcaklık verileri kullanılarak elde edilen  $\log(T_m - T_c) - t$  (zaman) eğrisinin eğiminin tersinin negatif değeridir. R ise örnek tüpünün yarıçapıdır. (8, 16, 17).

## SONUÇ ve TARTIŞMA

ısıl yayının katsayısı ölçüm düzeneğinin kalibrasyonunda referans materyal olarak % 0.3 agar içeren saf su kullanılmıştır. Özellikleri saf suyla aynı olarak kabul edilen agarjelin, suda oluşturduğu jel yapısı konveksiyonla ısı transferini engellemektedir. ısıl yayının katsayıları ölçümleri üç tekrarlı olarak gerçekleştirılmıştır. Referans materyale ait ölçümler, gıda örnekleri için olduğu gibi donmuş ve donmamış durumlar için ayrı ayrı gerçekleştirılmıştır. Çizelge 1. de değişik sıcaklıklarda referans materyal için elde edilen ölçüm sonuçlarının Nesvadba (18) da verilen değerlerle karşılaştırılması görülmektedir.

**Çizelge 1. Referans materyal için ölçülen ısıl yayının katsayıları değerlerinin literatür değerleriyle karşılaştırılması**

	ısıl yayının katsayısı ( $m^2/s$ )			
	Sıcaklık			
	-25°C	-20°C	-15 °C	-7°C
I. deneme	$1.37 \times 10^{-6}$	$1.32 \times 10^{-6}$	$1.28 \times 10^{-6}$	$1.02 \times 10^{-6}$
II.deneme	$1.46 \times 10^{-6}$	$1.34 \times 10^{-6}$	$1.29 \times 10^{-6}$	$1.06 \times 10^{-6}$
III.deneme	$1.42 \times 10^{-6}$	$1.34 \times 10^{-6}$	$1.30 \times 10^{-6}$	$1.04 \times 10^{-6}$
<b>Ortalama</b>	<b><math>1.42 \times 10^{-6}</math></b>	<b><math>1.33 \times 10^{-6}</math></b>	<b><math>1.29 \times 10^{-6}</math></b>	<b><math>1.04 \times 10^{-6}</math></b>
St. sapma	$4.72 \times 10^{-8}$	$1.30 \times 10^{-8}$	$1.35 \times 10^{-8}$	$2.086 \times 10^{-8}$
Literatür *	$1.42 \times 10^{-6}$	$1.29 \times 10^{-6}$	$1.24 \times 10^{-6}$	$1.21 \times 10^{-6}$

\*Nesvadba (18)

Çizelge 1.'de denemelerde elde edilen ısıl yayının katsayıları sonuçlarının literatür değerleriyle oldukça uyumlu olduğu görülmektedir.

% 0.3 agar içeren saf suyun donmamış durumuna ait 10°C'taki ısıl yayının katsayısı  $1.26 \times 10^{-7}$  ile  $1.39 \times 10^{-7} m^2/s$  arasında ölçülmüştür. Suya ait aynı sıcaklıklı değer Geankoplis (19)' te verilen saf suya ait özellikler Denklem (1)' de yerine koyularak  $1.408 \times 10^{-7} m^2/s$  olarak hesaplanmıştır.

Denklem (8)'deki  $f$  değerinin zamanla değişimini elde etmek amacıyla ısıl yayının katsayısı ölçüm denemelerinde ölçülen zaman sıcaklık verileri kullanılarak  $\log (T_m - T_c)$ 'nin zamanla ( $t$ ) değişimi SPSS 11.5 istatistik paket programı kullanılarak t'nin ikinci dereceden polinomiyal fonksiyonu olarak ifade edilmiştir. Milföy hamuru için elde edilen bu denklem korelasyon katsayısıyla birlikte aşağıda verilmiştir.

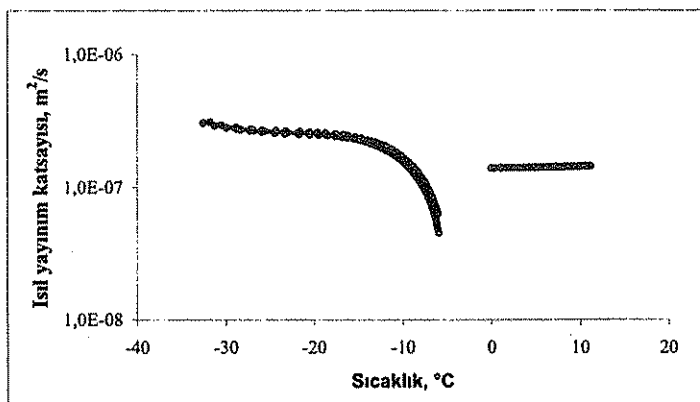
$$\log(T_m - T_c) = 0.9986 \times 10^{-6} t^2 - 0.0019t + 1.5927 \quad (R^2=0.9971) \quad (9)$$

Bu denklemin birinci türevinin tersinin negatif değeri Denklem (8)'deki "f" in ısınma süresine göre değişimini vermektedir. ıslı yayının katsayısının sıcaklıkla değişimini bulmak amacıyla denemelerde tespit edilen ısınma süreleriyle sıcaklık arasındaki değişme incelenerek sıcaklığın üçüncü dereceden polinomiyal fonksiyonu olarak ifade edilmiştir (Denklem 10). Böylece Denklem (8) deki "f" değeri sıcaklığın fonksiyonu olarak ifade edilmektedir.

$$t = 0.0858T^3 + 6.2918T^2 + 156.4767T + 1456.6333 \quad (R^2=0.9926) \quad (10)$$

Denklem (8)'de verilen  $\beta_1$  değeri ise milföy hamuru örneği için ölçülen zaman-sıcaklık değerleri kullanılarak 2.20 olarak bulunmuştur.

f değerinin, sıcaklığın üçüncü dereceden polinomiyal fonksiyonu olması nedeniyle, bu değer denklem (8)'de yerine konulduğunda ıslı yayının katsayısi sıcaklığın fonksiyonu olarak ifade edilmiş olmaktadır (16). Milföy hamuru için yapılan hesaplamalar sonucunda elde edilen ıslı yayının katsayısının sıcaklıkla değişimi Şekil 1' de gösterilmektedir.



Şekil 1. Milföy hamurunun ıslı yayının katsayısının sıcaklıkla değişimi

Dommuş durumda milföy hamurunun ıslı yayının katsayısının sıcaklıkla değişimi ise Denklem (11) de verilmiştir.

$$\alpha = -2.061 \times 10^{-11} T^3 - 1.4849 \times 10^{-9} T^2 - 3.6887 \times 10^{-8} T - 1.2365 \times 10^{-7} \quad (R^2=0.9850) \quad (11)$$

Literatürde milföy hamurunun ıslı yayının katsayısı ile ilgili değer bulunamamıştır. Kumcuoğlu (20)'de pizza ve ekmek hamurlarının ıslı yayının katsayıları  $-35^{\circ}\text{C}$  ile  $+15^{\circ}\text{C}$  sıcaklık aralığında belirlenmiş, bileşimleri benzer olan ekmek ve pizza hamurlarının ıslı yayının katsayılarının da benzer olduğu bulunmuştur.  $1080 \text{ kg/m}^3$  yoğunluktaki % 43.2 nem içeren ekmek hamurunun ıslı yayının katsayısı  $-28^{\circ}\text{C}$  de  $2.4 \times 10^{-7} \text{ m}^2/\text{s}$ ,  $12^{\circ}\text{C}$  de  $1.46 \times 10^{-7} \text{ m}^2/\text{s}$  olarak ölçülmüştür. Rask (9)'da % 43.5 nem içeren ( $r = 1100 \text{ kg/m}^3$ ) ekmek hamuru için  $-28^{\circ}\text{C}$  ta ıslı yayının katsayışı  $3.95 \times 10^{-7} \text{ m}^2/\text{s}$  ve  $+19^{\circ}\text{C}$  ta  $1.63 \times 10^{-7} \text{ m}^2/\text{s}$  olarak verilmiştir. Bu çalışmada pizza ve ekmek hamurlarına göre yağ oranı daha yüksek, nemi ve yoğunluğu daha düşük olan milföy hamurunun ıslı yayının katsayısı  $-30^{\circ}\text{C}$  de  $1.94 \times 10^{-7} \text{ m}^2/\text{s}$ ,  $10^{\circ}\text{C}$  de  $1.08 \times 10^{-7} \text{ m}^2/\text{s}$  olarak ölçülmüştür. Bu değerlerin literatürde pizza ve ekmek hamuru için verilen değerlerden daha düşük olduğu tespit edilmiştir. Bu durumun bileşimlerdeki farklılıktan kaynaklandığı düşünülmektedir.

### Semboller

Bi	Biot Sayısı.
C <sub>p</sub>	Özgül ısı, (Joule/kg°C).
f	Eğim indeksi, (s).
J <sub>0</sub>	Sıfırıncı mertebeden birinci tür Bessel fonksiyonu.
J <sub>1</sub>	Birinci mertebeden birinci tür Bessel fonksiyonu.
k	İşitkenlik katsayı, (W/m°C).
R	Örnek tüpünün yarıçapı, (m).
r	Yarıçap doğrusunda merkezden uzaklık, (m).
t	Isıtma süresi, s.
T	Sıcaklık, (°C).
T <sub>c</sub>	Örnek tüpünün merkez sıcaklığı,(°C).
T <sub>cs</sub>	(T <sub>m</sub> -T <sub>c</sub> )/(T <sub>m</sub> -T <sub>s</sub> ), birimsiz.
T <sub>m</sub>	Isıtma ortamı sıcaklığı,(°C).
T <sub>o</sub>	Başlangıç sıcaklığı,(°C).
T <sub>s</sub>	Örnek tüpünün yüzey sıcaklığı, (°C).
a	İşit yayım katsayı, (m <sup>2</sup> /s).
b <sub>n</sub>	n'inci dereceden pozitif kök.
b <sub>1</sub>	Birinci dereceden pozitif kök.

### KAYNAKLAR

- Singh RP. 1995. Thermal properties of frozen foods. In *Engineering Properties of Foods*, MR Rao and SSH Rizvi (eds), pp.139-166, Marcel Decker Inc., New York.
- Delgado AE, Gallo A, De Pianto D and Rubiolo, A. 1997. Thermal conductivity of unfrozen and frozen strawberry and spinach. *J. Food Eng.*, 31:137-146.
- Sweat VE. 1986. Thermal properties of foods. In *Engineering Properties of Foods*, MR Rao and SSH Rizvi (eds.), pp. 49-88, Marcel Decker Inc., New York.
- Singh RP. 1982. Thermal diffusivity in food processing. *Food Technol.*, 36:87-91.
- Singh RP.1992. Heating and cooling processes for foods. In *Handbook of Food Engineering*, R. Heldman and DB Lund (eds.), pp. 247-276, Marcel Dekker Inc., New York.
- Ball CO, Olson FCW. 1957. *Sterilization in Food Technology: Theory, Practice and Calculation*. McGraw Hill Book Co., New York.
- Hayakawa K, Ball CO. 1971. Theoretical formulas for temperatures in cans of solid food and for evaluating various heat processes. *J. Food Sci.*, 36: 306-310.
- Bhowmik SR. and Hayakawa K. 1979. A new method for determining the apparent thermal diffusivity of thermally conductive food. *J. Food Sci.*, 44(2):469-474.
- Rask C. 1989. Thermal properties of dough and bakery products: A review of published data, *J. Food Eng.*, 9:167-193.
- Lind I. 1991. The measurement and prediction of thermal properties of food during freezing and thawing – A review with particular reference to meat and dough. *J. Food Eng.*, 13:285-319.
- Zanoni B., Peri C. and Gianotti R. 1995. Determination of the thermal diffusivity of bread as a function of porosity. *J. Food Eng.*, 49:7-510.
- Magee TRA. and Bransburg T. 1995. Measurement of thermal diffusivity of potato, malt bread and wheat flour. *J. Food Eng.*, 25:223-232.
- Dickerson RW. 1965. An apparatus for the measurement of thermal diffusivity of foods. *Food Technol.*, 19:198-204.
- Carslaw HS and Jaeger JC. 1988. *Conduction of Heat in Solids*. Clarendon Press, 510 pp., Oxford.
- Dincer İ. 1997. *Heat Transfer in Food Cooling Applications*. Taylor and Francis Publishers, 399 pp., London.
- Ben-Yoseph E. and Hartel RW. 1998. Computer simulation of ice recrystallization in ice cream during storage. *J. Food Eng.*, 38:309-329.
- Rahman SM. 1995. *Food Process Handbook*. CRC Pres, 500 pp, London.
- Nesvadba P. 1982. A new transient method for the measurement of temperature dependent of thermal diffusivity. *J. Phys. D; Apply. Phys.* 15: 725-737.
- Geankoplis CJ. 1983. *Transport Processes and Unit Operations*. Prentice-Hall International Inc., 921 pp., New Jersey.
- Kumcuoğlu S. 2003. Bazı gıda maddelerinin donma koşullarında ıslasal özelliklerinin belirlenmesi. Ege Üniversitesi Fen bilimleri Enstitüsü Gıda Mühendisliği Anabilim Dalı Doktora tezi, 137 s, İzmir.